

## بررسی رابطه پارامترهای دنتوآلئولار با بروز مال اکلوژن کلاس II subdivision

دکتر علیرضا جعفری نعیمی<sup>۱</sup> دکتر مهسا محمدزاده<sup>۲</sup> دکتر فرزانه مومنی<sup>۳</sup> دکتر مهسا جاوادان<sup>۴</sup> دکتر زینب عطاری<sup>#</sup>

۱- استادیار گروه ارتودنسی دانشگاه آزاد اسلامی واحد دندانپزشکی تهران

۲- دستیار تخصصی گروه ارتودنسی دانشگاه آزاد اسلامی واحد دندانپزشکی تهران

۳- رادبولوزست

۴- دندانپزشک

### خلاصه:

**سابقه و هدف:** مال اکلوژن کلاس II subdivision، که با عدم تقاضن اکلوژن مشخص می شود، تا امروز چالشی برای دندانپزشکان بوده. علت اصلی این ناهنجاری، دقیقاً مشخص نشده. بعضی تحقیقات علت آن را موقعیت دیستالی مولر اول مندیبل در سمت کلاس II معرفی کردند در حالی که برخی دیگر علت اصلی این مشکل را تمایل به آسیمتری اسکلتال دانستند. هدف این مطالعه تعیین رابطه بعضی پارامترهای دنتوآلئولار با عدم قرینگی اکلوژن در بیماران کلاس II subdivision و مقایسهٔ تفاوت‌های آنها با گروه دارای اکلوژن نرمال بود.

**مواد و روش‌ها:** در این مطالعه مورد-شاهدی نمونه رادیوگرافی پانورامیک شامل ۳۰ مورد با اکلوژن نرمال و ۳۰ مورد با ناهنجاری کلاس II subdivision که از لحاظ سن و جنس مشابه سازی شده بودند، انتخاب شدند. در کلیشه‌ها زاویه محوری مولر اول، دوم، سوم و فضای رترومولر (که از نظر فاکتور بزرگنمایی یکسان سازی شده بود) اندازه گیری شد. در پایان داده‌ها توسط آزمون آماری Mann-U-Whitney با سطح اطمینان ۹۵٪ ارزیابی شد.

**یافته‌ها:** اختلاف آماری معنی داری بین یکی از این پارامترهای دنتوآلئولار (عنی تفاوت زاویه محوری مولر اول در بین اکلوژن دو سمت بیماران کلاس II subdivision و گروه با اکلوژن نرمال وجود داشت).

**نتیجه گیری:** به نظر می‌رسد عدم قرینگی اکلوژن در ناهنجاری کلاس II subdivision تحت تأثیر عوامل دنتوآلئولار می‌باشد.

**کلید واژه‌ها:** زیرگروه کلاس دو، زاویه مولری، فضای رترومولر، ناقرینگی، اکلوژن، رادیوگرافی پانورامیک

وصول مقاله: ۹۵/۱۱/۲۴ اصلاح نهایی: ۹۶/۲/۳۱ پذیرش مقاله: ۹۶/۳/۲

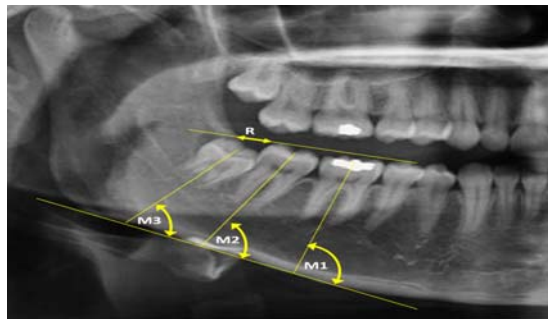
### مقدمه:

به طور غالب دنتوآلئولار هستند. بعضی مطالعات تأکید کردند که علت اولیه این مال اکلوژن موقعیت دیستالی مولر اول مندیبل در سمت کلاس II می‌باشد.<sup>(۹,۱۰)</sup> در مطالعه ای موقعیت مزیالی مولر اول ماگزیلا عنوان عامل ثانویه مطرح شده.<sup>(۱۱)</sup> چند مطالعه عامل این ناهنجاری را آسیمتری اسکلتال دانسته‌اند.<sup>(۱۲)</sup>

اگر مولر اول دیستالی تر قرار گیرد، احتمالاً فضا و زاویه دندان های دیستال آن نیز، تحت تأثیر قرار می‌گیرند، بنابراین ناقرینگی در فضا و زاویه مولر سوم می‌تواند موجب کراودینگ خلفی یک طرفه و نهفتگی احتمالی دندان عقل شود.<sup>(۱۳)</sup> با توجه به تناقصات موجود دربارهٔ علت آسیمتری کلاس II

مال اکلوژن کلاس II subdivision که برای اولین بار توسط انگل عنوان شد با مال اکلوژن کلاس II در یک سمت و اکلوژن نرمال در سمت دیگر مشخص می‌شود و جزء درمان‌های مشکل در ارتودنسی است.<sup>(۱)</sup> این ناهنجاری ۵۰ درصد همهٔ ناهنجاری‌های کلاس II را تشکیل می‌دهد و جزء رایجترین آسیمتری‌های دندانی در بیماران ارتودنسی است.<sup>(۲)</sup> قبل از طرح درمان‌های ارتودنسی برای تصحیح مشکلات subdivision، منشأ ناقرینگی باید شناسایی شود.<sup>(۳)</sup> تا بتوان روش درمانی مقتضی را اتخاذ نمود. مطالعات بسیاری در رابطه با تعیین منشأ دنتال یا اسکلتال کلاس II subdivision انجام شده است.<sup>(۴-۸)</sup> ناقرینگی‌های ناهنجاری کلاس II subdivision

دقت ۱ درجه در هر دو سمت فک پایین اندازه گیری و ثبت شد.<sup>(۱۴)</sup> پس از به دست آوردن اندازه‌های لازم، تفاوت اندازه گیری‌ها بین دو سمت فکی در هر نمونه به دست آمد و میانگین تفاوت‌ها بین دو سمت در گروه مورد و شاهد به صورت جداگانه محاسبه شد.



شکل ۱- نحوه اندازه گیری زاویه محوری مولر اول، دوم، سوم و فضای رترومولر

M1 زاویه محوری مولر ۱ (زاویه محور طولی مولر ۱ که زاویه حاصل از تقاطع خط واصل نقطه میانی سطح اکلوزالی و نقطه میانی bifurcation این دندان با بوردر تحتانی مندیبل است). M2 زاویه محوری مولر ۲ (زاویه محور طولی مولر ۲ که زاویه حاصل از تقاطع خط واصل نقطه میانی سطح اکلوزالی و نقطه میانی bifurcation این دندان با بوردر تحتانی مندیبل است). M3 زاویه محوری مولر ۳ (زاویه محور طولی مولر ۳ که زاویه حاصل از تقاطع خط واصل نقطه میانی سطح اکلوزالی و نقطه میانی bifurcation این دندان با بوردر تحتانی مندیبل است). R فضای رترومولار (فاصله بین contact point دیستالی مولر ۲ و تقاطع بوردر قدامی راموس با بادی مندیبل است).<sup>(۱۴)</sup> بعد از گذشت دو هفته از اندازه گیری پارامترهای مورد مطالعه ۲۰ کلیشه به طور تصادفی انتخاب شده و روی هر کدام آنها مجدداً همه‌ی پارامترها اندازه گیری شد (اندازه گیری خطای مشاهده گر) تفاوت بین اندازه گیری‌های اولیه و ثانویه توسط paired t-test ارزیابی شد<sup>(۶)</sup> و تفاوت آماری معنی داری گزارش نشد. در پایان داده‌ها توسط آزمون آماری Mann-U-Whitney مورد قضاؤت آماری قرار گرفتند.

subdivision و نیز وجود بررسی‌های محدود در این رابطه توسط رادیوگرافی پانورامیک در تحقیقات قبلی و مزایای استفاده از این روش تصویربرداری در تشخیص‌های کلینیکی بر آن شدیدم تا با بررسی قرینگی رابطه فضا وزاویه‌ی مولری در مال اکلوژن کلاس II subdivision، اثر عوامل دنتوآلتوئلار را در ایجاد این ناهنجاری بررسی کنیم.

#### مواد و روش‌ها:

این تحقیق مورد-شاهدی با روش نمونه گیری مبتنی بر هدف انجام شد. با بررسی فتوگرافیها و رادیوگرافی‌های پانورامیک ۵۵۲ پرونده متعلق به مراجعه کنندگان به یک مرکز رادیولوژی فک و صورت خصوصی ۶۰ نمونه انتخاب شد (در صورت داشتن رادیوگرافی پانورامیک با کیفیت خوب و با بررسی کست‌ها و پرونده بیماران با مراجعه به مطب دندانپزشک معالج) و به دو گروه تقسیم شدند. گروه اول شامل ۳۰ نمونه ودارای مال اکلوژن کلاس II subdivision بودند و گروه دوم یعنی گروه کنترل، شامل ۳۰ نمونه و دارای اکلوژن نرمال بودند. نمونه‌ها در محدوده سنی ۱۷-۳۵ سال بوده و از لحاظ سن و جنس و سایر معیارهای ورود و خروج به شرح ذیل مشابه بودند.

دارا بودن همه‌ی دندانهای دائمی ماجزیلا و مندیبل، عدم سابقه درمان ارتودنسی، عدم انحراف جانبی مندیبل در حین بستن، عدم سابقه ترومای صورتی یا شرایط پزشکی مختلط کننده رشد crowding یا حداکثر ۳ میلی‌متر، عدم وجود قرینه در قوس بود.<sup>(۱۲)</sup> پس از در اختیار گرفتن رادیوگرافی‌های پانورامیک بیماران واجد شرایط، که همه‌ی در شرایط یکسان و با روش مشابه با استفاده از دستگاه Planmeca Oroline Xc ساخت کشور فنلاند تهیه شده بود، رادیوگرافی‌های پانورامیک انجام شد. در هر کلیشه شاخص‌های مورد نظر مطالعه شامل زاویه محوری مولر اول (M1)، زاویه محوری مولر دوم (M2)، زاویه محوری مولرسوم (M3) و فضای رترومولار (R)، مطابق لندهارکهای مشخص شده در شکل (۱)، به روش دستی با استفاده از خط کش با دقیقیت ۱ میلی‌متر و نقائه با

جدول ۱- توزیع افراد مورد بررسی بر حسب خصوصیات و به تفکیک اکلوژن

خصوصیات	سن	جنس	حضور همه دندانهای دائمی	سابقه درمان ارتو	سابقه ترومما	Missing دندانی	crowding	spacing	crossbite	انحراف مندیبل	واضح کلینیکی مانگریلا	واضح کلینیکی مندیبل	آسیمتری دندانی و صورتی	تطابق میدلان	آسیمتری دندانی و صورتی			
															مؤنث	ذکر	بله	خیر
اکلوژن																		
الکلاس																		
subdivision																		
تعداد=۳۰																		
نرمال																		
تعداد=۳۰																		
نرمال																		
۳۰																		
۲۰																		
۲۲																		
۲۰																		
۱۹																		
نرمال																		
۳۰=تعداد																		

میزان تفاوت شاخص های زاویه محوری مولر ۱، زاویه محوری مولر ۲، زاویه محوری مولر ۳ و فضای رترومولار نشان داد که تفاوت هر کدام از این شاخصها بین دو سمت فکی در هر گروه از لحاظ آماری معنادار نبوده است. (جدول ۲ و ۳)

جدول ۴- مقایسه پارامترهای مورد بررسی بر حسب وضعیت اکلوژن

P value	کلاس	نرمال	اکلوژن	شاخص عدم قرینگی	زاویه محوری مولر ۱	-۱/۲۳±۵/۷۵	-۱/۲۳±۵/۷۸	۱/۸۳±۵/۱۸	۱/۸۳±۵/۱۸	۰/۰۵
۰/۲۶					زاویه محوری مولر ۲	-۱/۲۳±۷/۰۷	-۱/۲۳±۷/۰۷	۰/۷۳۳±۵/۹۹	۰/۷۳۳±۵/۹۹	
۰/۱۷					زاویه محوری مولر ۳	۳/۵±۱۴/۵	۳/۵±۱۴/۵	۷/۶±۱۳	۷/۶±۱۳	
۰/۷					فضای رترومولار	۰/۲±۳/۷۰	۰/۲±۳/۷۰	-۰/۷±۳/۳۸	-۰/۷±۳/۳۸	

میزان تفاوت شاخص های زاویه محوری مولر ۱، زاویه محوری مولر ۲، زاویه محوری مولر ۳ و فضای رترومولار، به تفکیک نوع اکلوژن در جدول شماره ۴ ارایه شده است. مقایسه میزان تفاوت زاویه محوری مولر ۱ دو سمت بین دو گروه با مال اکلوژن کلاس II subdivision و اکلوژن نرمال تفاوت آماری معنی داری را نشان داد. ( $P = ۰/۰۵$ ) اما در مورد پارامترهای دیگر تفاوت آماری معنی داری وجود نداشت. (جدول ۴)

### بحث

نتایج تحقیق نشان داد که بین تفاوت زاویه محوری مولر اول با عدم قرینگی اکلوژن در ناهنجاری کلاس II subdivision ارتباط برقرار است و فرضیه تحقیق مبنی بر دندانی بودن

تمامی افراد دارای ناهنجاری کلاس subdivision II، عدم قرینگی اکلوژن داشتند و تمامی افراد دارای اکلوژن نرمال، دارای اکلوژن قرینه بودند. crossbite و spacing در هیچ کدام از نمونه ها نبود و سابقه ترومما و درمان ارتودنسی قبلی نداشتند. ۸۵ درصد نمونه ها فاقد crowding بودند و تنها ۱۵ درصد افراد crowdig کمتر از ۳ میلی متر بودند.

افراد دو گروه به لحاظ سن، جنس و مشابه بوده و اختلاف آنها به لحاظ آماری معنادار نبود. ( $P < ۰/۰۶$ ) (جدول ۱)

جدول ۲- مقایسه شاخصها بین دو سمت فکی گروه شاهد

شاخص	سمت چپ	سمت راست	Pvalue
زاویه محوری مولر ۱	۹۷/۳۶ ± ۵/۵	۹۶/۱۳ ± ۶/۳۰	۰/۴۷۷
زاویه محوری مولر ۲	۹۲/۱۳ ± ۵/۴۳	۹۱/۳ ± ۶/۷۳	۰/۵۹۹
زاویه محوری مولر ۳	۶۹/۸۲ ± ۲۰/۰۸	۷۳/۲۶ ± ۱۹/۳۲	۰/۵۰۵
فضای رترومولار	۱۲/۹۶ ± ۳/۷۳	۱۳/۱۶ ± ۳/۸	۰/۸۹

جدول ۳- مقایسه شاخصها بین دو سمت فکی گروه مورد

شاخص	سمت کلاس I	سمت کلاس II	Pvalue
زاویه محوری مولر ۱	۹۶/۷ ± ۷/۳۱	۹۵/۰۳ ± ۶/۹۳	۰/۳۱
زاویه محوری مولر ۲	۹۱/۴۶ ± ۶/۶	۹۰/۷۳ ± ۸/۶۴	۰/۳۷
زاویه محوری مولر ۳	۷۳/۲۶ ± ۱۹/۹۴	۶۵/۲ ± ۱۹/۹۲	۰/۰۸۲
فضای رترومولار	۱۲/۶۶ ± ۴/۴۵	۱۲/۷۳ ± ۵/۳۱	۰/۹۵

کردیم و مورد بعدی می‌تواند مربوط به حجم نمونه ما در این تحقیق باشد که کمتر از مطالعه ایشان است.

Azevedo و همکاران در مطالعه ای به مقایسه درجه آسیمتري II subdivision اسکلتال بین دو گروه دارای ناهنجاری کلاس واکلوژن نرمال پرداختند. آنها گزارش کردند که عامل اصلی در ایجاد مال اکلوژن کلاس II subdivision دنتوآلتوئلار است (که با نتایج تحقیق ما همسو می‌باشد) که به طور اولیه موقعیت دیستالی مولر اول مندیبل و به طور ثانویه موقعیت مزیالی مولر اول ماگزیلا را در این امر دخیل داشتند.<sup>(۱)</sup> در این تحقیق از رادیو گرافی SMV و PA استفاده شده است. محدودیت PA در روش کار و عدم قابلیت تکرارپذیری آن و نیز قابلیت دیستورشن SMV باعث شده که در تشخیص های ارتودنسی کمتر ارزشمند باشند<sup>(۲-۴)</sup> و بنابراین ما از تصویر پانورامیک استفاده کردیم.

Sanders و همکاران با استفاده از آنالیز تصاویر CBCT نتیجه گرفتند که ۶۱ درصد عدم تقارن اکلوژن مولرها در ناهنجاری کلاس II subdivision به دلیل آسیمتري مندیبل است که در سمت کلاس II کوتاهتر و خلفی تر قرار گرفته است. ۲۰ درصد به دلیل مزیالی قرار گرفتن مولرهای ماگزیلا در سمت کلاس II و ۱۹ درصد به دلیل دیستالی قرار گرفتن مولرهای مندیبل در سمت کلاس II است. بر اساس نتایج به دست آمده آن مطالعه اولیه در ایجاد عدم تقارن اکلوژن در ناهنجاری کلاس II subdivision اسکلتالی مطرح بوده و فاکتورهای دنتوآلتوئلار در درجه دوم قرار گرفتند.<sup>(۵)</sup> آنها در مطالعه خود از CBCT استفاده کرده بودند که یکی از مزایای آن این است که تحت تاثیر خطای positioning قرار نمی‌گیرد و عدم داشتن این خصیصه یکی از نواقص پانورامیک است که ما برای رفع این مشکل از کلیشه های یک مرکز که توسط یک دستیار واحد کار آزموده و با قرار دادن بیمار در natural head position تهیه شده بود استفاده کردیم ولی ارزیابی ما محدود به پارامترهای دندانی بود.

اتیولوژی ناهنجاری کلاس II subdivision اثبات شد. با توجه به اینکه در این مطالعه اندازه گیری لندمارک ها محدود به لندمارک های دندانی بود و آسیمتري دندانی اثبات شد، این ایده که یکی از فاکتورهای عدم تقارن اکلوژن در سمت کلاس II آسیمتري دنتوآلتوئلار است تقویت می‌شود.

نتایج این مطالعه با نتایج به دست آمده در تحقیقاتی که توسط Kurt و همکاران Janson، و همکاران Azevedo وهمکاران انجام شد همسو می‌باشد.<sup>(۱۰,۱۳,۱۵)</sup>

در مطالعه ای که توسط Kurt و همکاران با هدف بررسی آسیمتري مندیبل در بیماران کلاس II subdivision انجام گرفت، به این نتیجه رسیدند که بیماران کلاس II subdivision دارای کندیل های متقارن هستند و عدم تقارن مندیبل در آنها در مقایسه با گروه نرمال مشاهده نشد. در این مطالعه تأکید شد که اتیولوژی ناهنجاری کلاس II subdivision دنتوآلتوئلار است.<sup>(۱۵)</sup>

در مطالعه ای که توسط Janson و Cruz و همکاران با هدف بررسی فضا و زاویه مولر سوم در بیماران کلاس II subdivision انجام گرفت، به این نتیجه رسیدند که اتیولوژی ناهنجاری کلاس II subdivision به طور اولیه دنتوآلتوئلار است. نتایج این مطالعه نشان داد که در بیماران کلاس II subdivision آسیمتري فضای در دسترس برای دندان مولر سوم و نیز آسیمتري انگولیشن دندان مولر سوم بین سمت کلاس I و کلاس II وجود دارد.<sup>(۳)</sup> اما در تحقیق حاضر ما به این نتیجه رسیدیم که تفاوت فضای در دسترس برای مولر سوم و تفاوت زاویه محوری مولر سوم با عدم قرینگی اکلوژن در ناهنجاری کلاس II subdivision رابطه ای ندارد.

در توجیه این تفاوت می‌توان به دو نکته اشاره کرد، در تحقیق Janson و همکاران برای هر بیمار از مدلایته تصویربرداری متفاوتی یعنی یک رادیوگرافی corrected oblique ، (SMV) (PA)posteroanterior و (PA)submentovertex جهت بررسی رابطه فضا و زاویه مولر سوم استفاده شد، اما در تحقیق حاضر ما برای هر بیمار از یک رادیوگرافی پانورامیک استفاده

این رادیوگرافی می توان به بررسی مناطق وسیع فکی ، ارزان بودن ، در دسترس بودن ، پرتو گیری اندک در مقایسه با CBCT و در عین حال امکان مشاهده هر دو سمت فکی در یک تصویر اشاره کرد.<sup>(۱۷)</sup>

جمع آوری نمونه های مورد مطالعه با شرایط ورود و خروج مشخص و دقیق انجام گرفت که منجر به تهیه اندازه گیری های قابل مطالعه حتی برای تحقیقات آتی توسط افراد دیگر نیز شد و می توان انتظار داشت با روشن تر شدن این مطلب که اتبیولوژی اصلی ایجاد ناقرینگی در افراد مورد مطالعه چه می باشد تلاشی جهت رفع ابهامات موجود صورت پذیرد و دیدی وسیع تر و ذهنی روشن تر و قضاوی جامع تر جهت ریشه یابی و رفع ناهنجاری کلاس subdivision II در درمان ها به وجود آید.

#### نتیجه گیری

به نظر می رسد عدم قرینگی اکلوژن در ناهنجاری کلاس subdivision II تحت تأثیر عوامل دندانی باشد.

برای بررسی ناقرینگی اکلوژن نیاز به بررسی نا قرینگی دندانی ، نا قرینگی در سایز مندیبل ، ناقرینگی در سایز ماجزیلا و نیز ناقرینگی در قرار گرفتن مندیبل زیر جمجمه می باشد از آنجایی که بررسی تمامی این عوامل در یک مطالعه امکان پذیر نیست و نیاز به تهیه رکوردهای متعدد و در معرض اشعه قرار گرفتن بیشتر بیمار است. لذا در این مطالعه ما به بررسی ناقرینگی دندانی پرداختیم که با استفاده از رادیوگرافی دو بعدی پانورامیک دیجیتال انجام شد. در این رادیوگرافی زاویه اکسپوژر عمود بر سطح راموس و قسمت خلفی تنہ مندیبل بوده که از این جهت رادیوگرافی مناسبی برای ارزیابی دندان مولر سوم می باشد.<sup>(۱۸)</sup> هر چند در اینجا تفاوت زاویه محوری مولر دوم و سوم و فضای رترومولار در سمت کلاس I و کلاس II تفاوت معنی داری نداشت اما زاویه محوری دندان مولر اول که اساسی ترین دندان در تعیین اکلوژن است تفاوت معنی داری داشت و به نظر می رسد دندان های ۷ و ۸ این اختلاف را جبران کرده اند.

از محسن این مطالعه می توان به استفاده از رادیوگرافی پانورامیک اشاره کرد که از معمول ترین رکورد هاست که در شروع درمان ارتودنسی تهیه شده و استفاده می شود. از مزایای

**References:**

- 1.Azevedo AR, Janson G, Henriques JF, Freitas MR. Evaluation of asymmetries between subjects with class II subdivision and apparent facial asymmetry and those with normal occlusion. Am J Orthod Dentofacial Orthop 2006;129(3):376-83
2. Dunn WJ. Studying the Prevalence and Etiology of Class II Subdivision Malocclusion Utilizing Cone-Beam Computed Tomography. Journal of Orthodontics 2016;2(4):17.
- 3.Pinho T, Figueiredo A. Orthodontic-orthognathic surgical treatment in a patient with Class II subdivision malocclusion: occlusal plane alteration. Am J Orthod Dentofacial Orthop 2011;140(5):703-12.
- 4.Minich CM, Araújo EA, Behrents RG, Buschang PH, Tanaka OM, Kim KB. Evaluation of skeletal and dental asymmetries in Angle Class II subdivision malocclusions with cone-beam computed tomography. Am J Orthod Dentofacial Orthop 2013;144(1):57-66.
- 5.Ramirez-Yañez GO, Stewart A, Franken E, Campos K. Prevalence of mandibular asymmetries in growing patients. Eur J Orthod 2011;33(3):236-42
6. Al Taki A, Ahmed MH, Ghani HA, Al Kaddah F. Impact of different malocclusion types on the vertical mandibular asymmetry in young adult sample. Eur J Dent 2015 ;9(3):373-7
- 7.Patel A, Islam SM, Murray K, Goonewardene MS. Facial asymmetry assessment in adults using three-dimensional surface imaging. Prog Orthod 2015;16(1):36.
8. Cherian M, Ravi MS. Lower Third Molar Space and Angulation in Individuals with Lower Anterior Crowding. Nitte University Journal of Health Science. 2016;6(3):1-6
- 9.Kurt G, Uysal T, Sisman Y, Ramoglu SI. mandibular asymmetry in classII subdivision malocclusion.Angle Orthod 2008;78(1):32-7
- 10.Cachecho C, Amberman BD, Hans MG, Palomo JM. A three-dimensional evaluation of Class II subdivision malocclusion correction using Cartesian coordinates. InSeminars in Orthodontics 2014 : 20( 4); 287-98
- 11.Alavi DG, Begole EA, Schneider BJ. facial and dental arch asymmetries in class II subdivision malocclusion. Am J Orthod Dentofacial Orthop 1988;93(1):38-46.
- 12.Sanders DA, Rigali PH, Neace WP, Uribe F, Nanda R. Skeletal and dental asymmetries in Class II subdivision malocclusions using cone-beam computed tomography. Am J Orthod Dentofacial Orthop 2010;138(5):542
13. Janson G, Cruz KS, Barros SE, Woodside DG, Metaxas A, de Freitas MR, et al. Third molar availability in class II subdivision malocclusion. Am J Orthod Dentofacial Orthop 2007;132(3):279
- 14.Abu Alhaija ES, AlBhairan HM, AlKhateeb SN. Mandibular third molar space in different antero-posterior skeletal patterns. Eur J Orthod 2011;33(5):570-6.
15. Kurt G,Uysal T,SismanY,Ramoglu SI. Mandibular asymmetry in class II subdivision malocclusion.Angle Orthod 2008;78(1):32-7
- 16.Gupta S, Bhowate RR, Nigam N, Saxena S. Evaluation of impacted mandibular third molars by panoramic radiography. ISRN Dent 2010;2011: 406714
- 17.Signorelli L, Patcas R, Peltomäki T, Schätzle M. Radiation dose of cone-beam computed tomography compared to conventional radiographs in orthodontics. J Orofac Orthop 2016;77(1):9-15.